

## ОЦЕНКИ ЭФФЕКТОВ НЕСОХРАНЕНИЯ ЧЕТНОСТИ В КВАЗИЯДЕРНЫХ СИСТЕМАХ

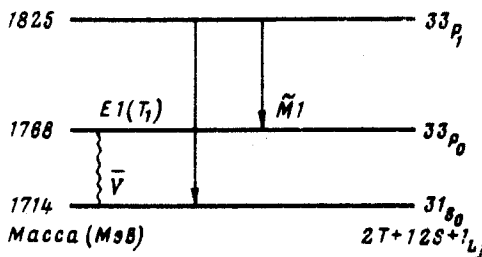
*В.М.Дубовик, Л.А.Госунян*

Картина нарушения четности (НЧ) в квазиядерной системе значительно отличается от НЧ в ядре. В количественном отношении соответствующие эффекты могут увеличиваться на несколько порядков.

В работах [1, 2] предсказывается существование квазиядерной системы (КС):  $NN$ , связанных ядерными силами. Такая система является менее рыхлой, чем дейтон, поскольку на языке ОВЕ – потенциала притяжения в ней обеспечивается  $\omega$ -мезоном;  $r_{NN}^- \lesssim 1 \text{ } \Phi$ . Последнее, вместе с другими свойствами системы, способствует любопытной специфике эффектов несохранения четности (НЧ) в  $\gamma$ -переходах в КС. Заметим, что КС моментально аннигилирует, если ее кварки и антикварки флюктуируют в малый объем  $r \sim r_A \approx 1/2 M_N \approx 0,1 + 0,2 \text{ } \Phi$ .

Вследствие этого потенциальный вклад [3, 4] в эффект НЧ в КС, по-видимому, должен превышать кварк-ядерный [5], в отличие от ситуации в дейтоне (реакция  $pr \rightarrow d\gamma$  [6]).

1878 ----- паров



Оценим степень циркулярной поляризации  $P_y$  для переходов, представленных на рисунке, с помощью формулы:

$$P_y = \frac{2 \langle E1 \rangle \langle \tilde{M}1 \rangle}{\langle E1 \rangle^2 + \langle M1 \rangle^2} \approx 2 \frac{\langle \tilde{M}1 \rangle}{\langle E1 \rangle}, \quad (1)$$

где

$$\langle \tilde{M}1 \rangle = \frac{\langle 2 | \bar{V} | 1 \rangle}{E_1 - E_2} \langle M1 \rangle.$$

Здесь  $\langle E1 \rangle$  и  $\langle \tilde{M}1 \rangle$  — амплитуды регулярного и нерегулярного переходов, а  $\bar{V}$  — НЧ потенциал слабого взаимодействия в системе  $NN$  (он значительно изменяет спин-изоспиновую структуру при переходе от  $NN$  к  $NN$ , общий вид его будет приведен в другой работе).

Операторы  $E_1$  с учетом торOIDного момента  $T_1$  [7, 8],  $M_1$  и часть потенциала  $\bar{V}$ , допускаемая правилами отбора, имеют следующий вид:

$$E_1 = \frac{\partial}{\partial t} Q_1 + \omega^2 T_1 = \sum_{i=1,2} \left\{ -\frac{e_i}{M_i} p_i + \omega^2 \left( \frac{e_i}{10M_i} r_i^2 p_i \right) - \frac{\mu_o}{2} [\tau_i (\mu_i \vec{\sigma}_i + \frac{2}{5} g_i \mathbf{1}_i)] \right\} \quad (2)$$

$$M_1 = \mu_o \sum_{i=1,2} (\mu_i \vec{\sigma}_i + g_i \mathbf{1}_i), \quad (3)$$

$$\begin{aligned} \bar{V} = \bar{V}_v(r) = & -\frac{G \bar{g}_A m^2}{8\sqrt{2} M_N} [(\vec{\sigma}_1 - \vec{\sigma}_2) \{p_1 - p_2, f(mr)\} (c\zeta - 3c')] + \\ & + i (\vec{\sigma}_1 \times \vec{\sigma}_2) [p_1 - p_2, f(mr)] (\bar{\mu}_v c\zeta - 3\bar{\mu}_s c') \frac{r^{\frac{1}{3}} + r^{\frac{2}{3}}}{2}, \end{aligned} \quad (4)$$

$$\nu_o = \rho, \omega; \quad m_\rho = m_\omega \equiv m, \quad \mu_o = \frac{e}{2M_N}; \quad \bar{\mu}_v = 4,7; \quad \bar{\mu}_s = 0,12; \quad \zeta = 0,4 [4];$$

$\tau_i$  — координата,  $p_i$  — импульс,  $M_i$  — масса,  $e_i$  — заряд,  $\mu_i$  — спиновый, а  $g_i$  — орбитальный магнитный моменты  $i$ -й частицы.

При расчете эффектов НЧ замечены следующие особенности  $\bar{N}N$ -системы: 1) в операторе  $E_1$  существенен вклад торOIDной части, в приведенных же на рисунке  $\gamma$ -переходах  $E1$ -переход в силу правил отбора целиком обусловлен спиновой частью оператора  $T_1$ . 2) Для  $\gamma$ -переходов между состояниями  $\bar{N}N(T_3 = 0) = \frac{1}{\sqrt{2}}(\bar{p}p \pm \bar{n}n)$   $P_\gamma = 0$ . 3) Численные значения  $P_\gamma$  для  $\gamma$ -переходов рисунка равны:

$$P_\gamma = \pm (9,27\zeta c - 7,55c') = \begin{cases} \pm 0,8 \cdot 10^{-6} & c = c' = -0,20 [4] \\ \pm 0,5 \cdot 10^{-6} & c = c' = -0,13 [4] \\ \pm 1,2 \cdot 10^{-6} & c = -0,084; c' = -0,20 [9] \end{cases} \quad (5)$$

$$E_\gamma = 111 \text{ МэВ}$$

Здесь плюс (+) соответствует  $\bar{p}p$ , а минус (-),  $\bar{n}n$ -системе.

Резюме: i)  $P_\gamma$  для переходов в КС превышают расчетные  $P_\gamma$  в  $p\bar{p} \rightarrow d\gamma$  в  $\sim 10^2$ ; ii)  $P_\gamma$  для  $\bar{N}N$  определяются малыми константами  $c$  и  $c'$  и таким образом, в принципе, имеется уникальная возможность их измерения; iii) поскольку  $P_\gamma$  возникает только в переходах системы  $\bar{p}n$  (или  $\bar{n}p$ ), мишень для  $\bar{p}$  должна быть ядерной (если подавлен переход  $A(\bar{p}p) \rightarrow B(\bar{n}p) + \pi^-$ ; iv) учитывая статистическое подавление эффекта НЧ из-за конкуренции аннигиляционного канала  $Y = \Gamma_\gamma/\Gamma_A \sim \sim 10^{-2}$  и малой вероятности перехода  $W[A(\bar{p}p) \rightarrow B \text{ (верхний уровень)} + \gamma(\pi)] \sim 10^{-2}$ , следует тщательно исследовать эффекты НЧ в реакциях  $p\bar{p} \rightarrow pp$ ,  $\bar{N}N \rightarrow \pi$ -мезоны и т. п.

Авторы благодарят И.С.Шапиро и его сотрудников, особенно Л.Н.Богданову и В.Е.Маркушину за полезные обсуждения этой работы, а также В.В.Бурова, В.С.Замиралова, С.В.Зенкина, М.И.Поликарпова.

Объединенный  
институт ядерных исследований

Поступила в редакцию  
15 ноября 1980 г.

### Литература

- [1] O.D.Dalkarov, V.B.Mandelzweig, I.S.Shapiro. Nucl. Phys., B21, 88, 1970.
- [2] I.S.Shapiro. Phys. Rep., 35C, 122, 1978.
- [3] E.Fishbach, D.Tadić. Phys. Rep., 6C, 123, 1973.
- [4] V.M.Dubovik, V.S.Zamiralov, S.V.Zenkin. JINR E2-12381, Dubna, 1979; JINR E2-80-502, Dubna, 1980.
- [5] B.M.Dubovik, A.P.Kobushkin. ITP-78-85E, Kiev, 1978; V.M.Dubovik, I.T.OBUKHOVSKY. JINR, P2-80-501; E2-80-554, E2-80-555, Dubna, 1980.
- [6] V.M.Lobashov et. al. Nucl. Phys., A197, 241, 1972.
- [7] B.M.Дубовик, А.А.Чешков. ЭЧАЯ 5, 791, 1974; V.M.Dubovik. JINR Comm. E2-9262, Dubna, 1975.
- [8] V.M.Dubovik, R.A.Eramzhyan, L.A.Tosunyan. JINR Comm. E4-9979, Dubna, 1976.
- [9] B.Desplanques, J.F.Donoghue, B.Holstein. Ann. Phys. (N.Y.) 124, 449, 1980.